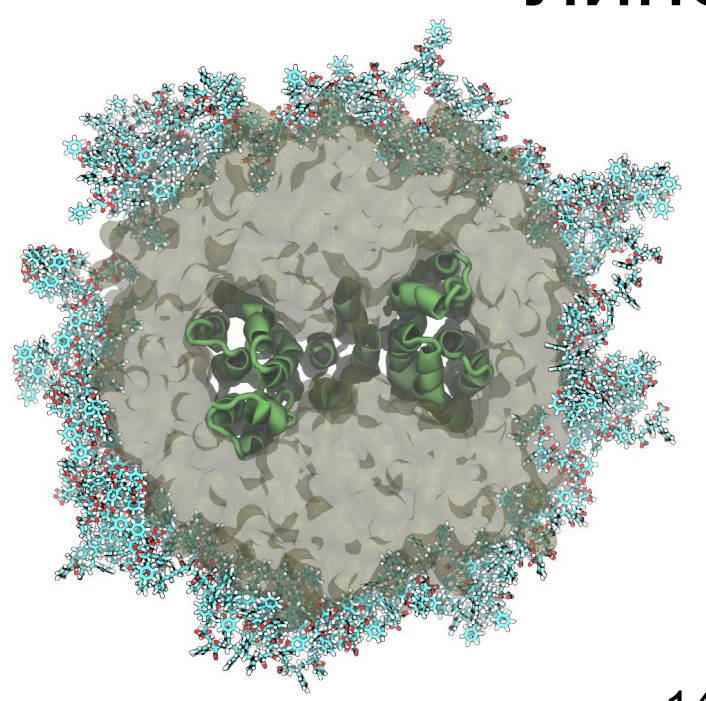
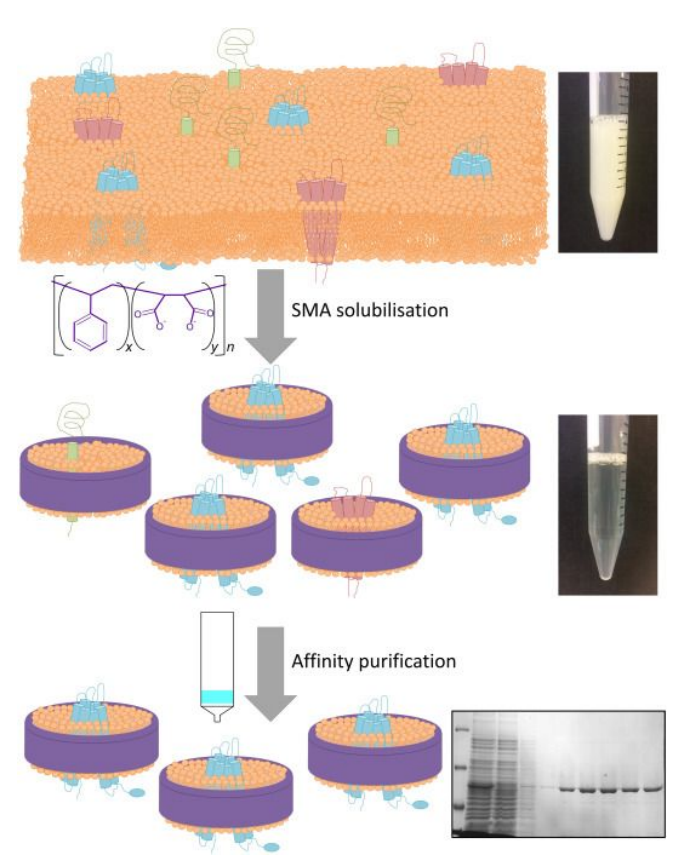
Компьютерное моделирование липодисков



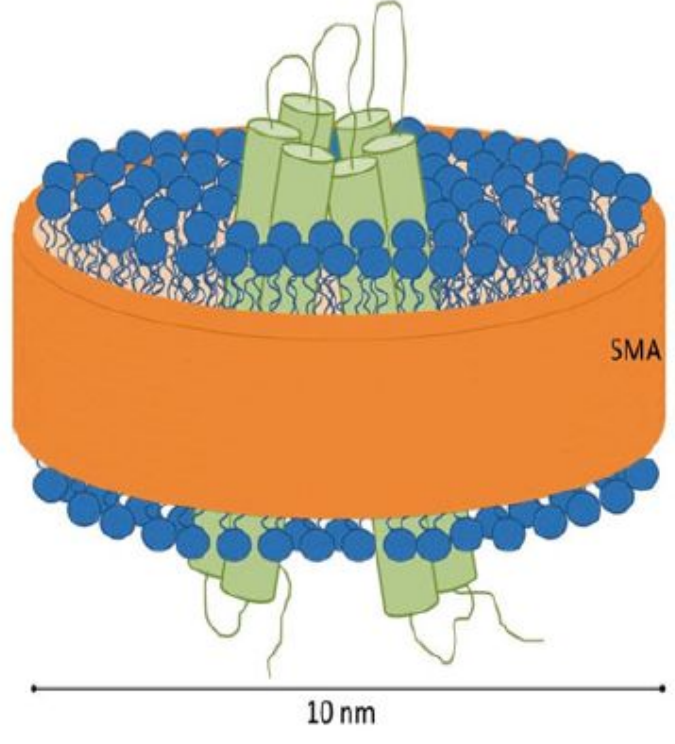
Тарасов Кирилл Антонович Биологический факультет Кафедра биоинженерии



Липодиски - системы экстракции мембранных



белков



Pollock et al., 2018. "Structure and function of membrane proteins encapsulated in a polymer-bound lipid bilayer".

Alice J. Rothnie, 2016. "Detergent-free membrane protein purification".

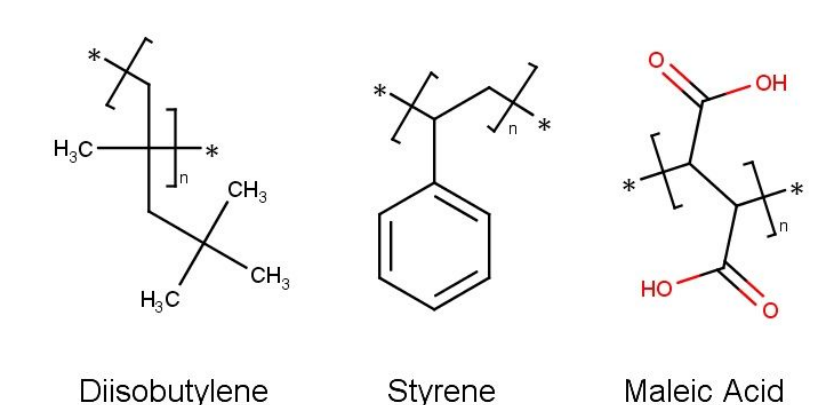
Алгоритм моделирования

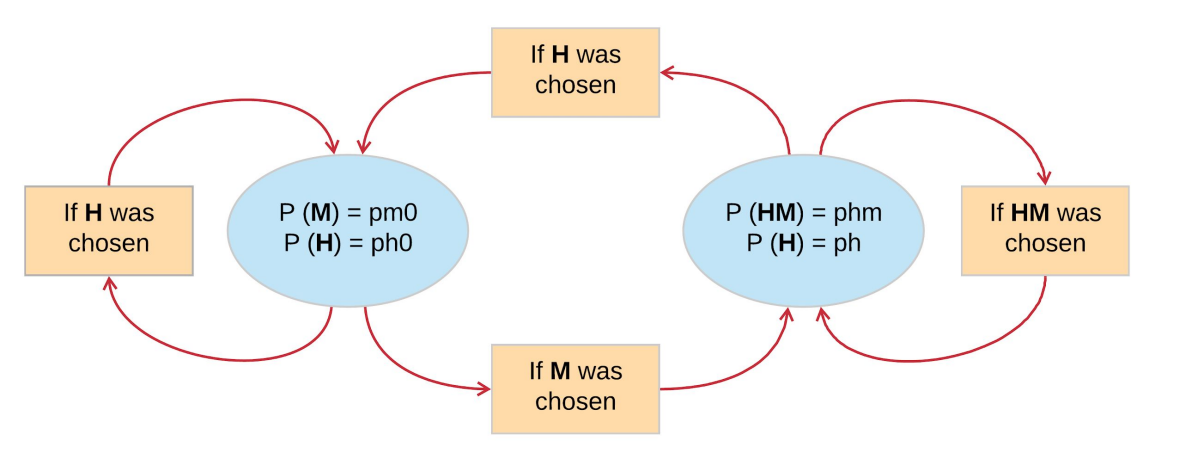
- 1. Генерация молекул полимеров
- 2. Подведение молекул полимеров к участку мембраны методом неравновесной молекулярной динамики
- 3. Эквилибрация системы методом равновесной молекулярной динамики и проведение расчета
- 4. Анализ траекторий

Генерация молекул полимеров

Варьируемые параметры:

- Средняя длина молекулы и ее стандартное отклонение
- Соотношение типов мономеров (pm0, ph0)
- Средний заряд на мономерах малеиновых кислот

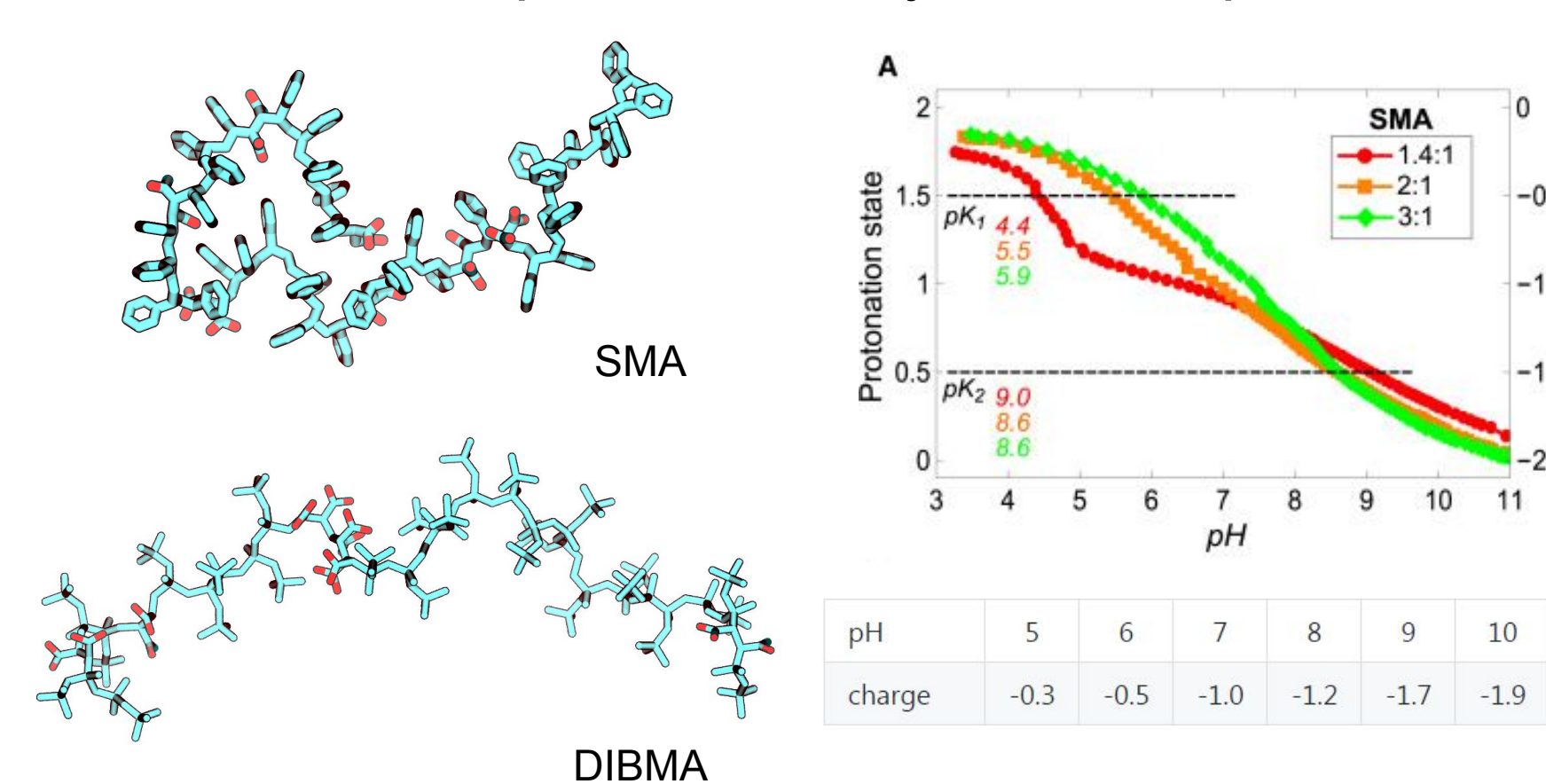




$$p(hm) = \frac{p(m_0)}{1 - p(m_0)}$$

$$p(h) = 1 - p(hm)$$

Генерация молекул полимеров

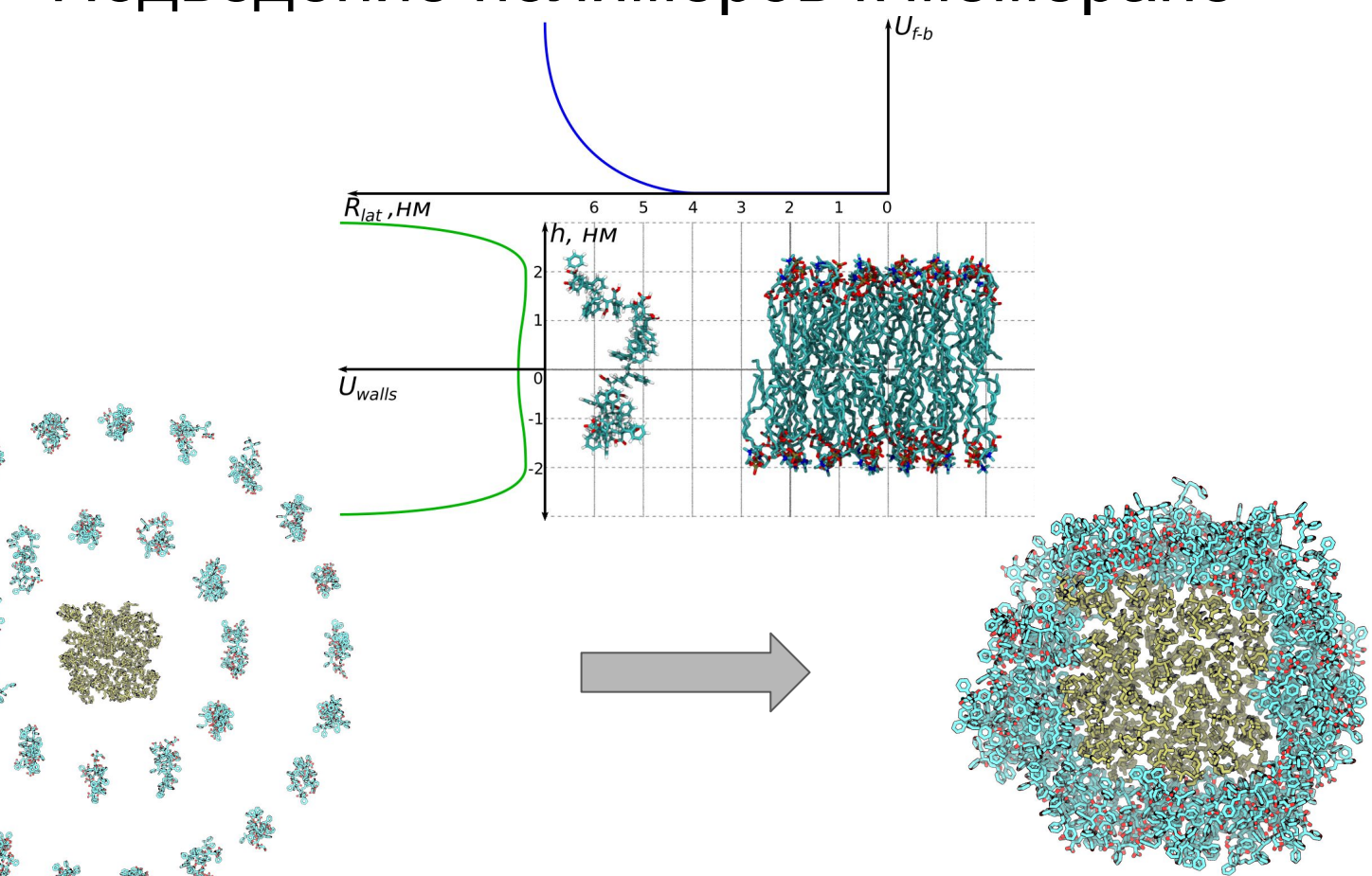


Scheidelaar et al., 2016. "Effect of Polymer Composition and pH on Membrane Solubilization by Styrene-Maleic Acid Copolymers"

>10

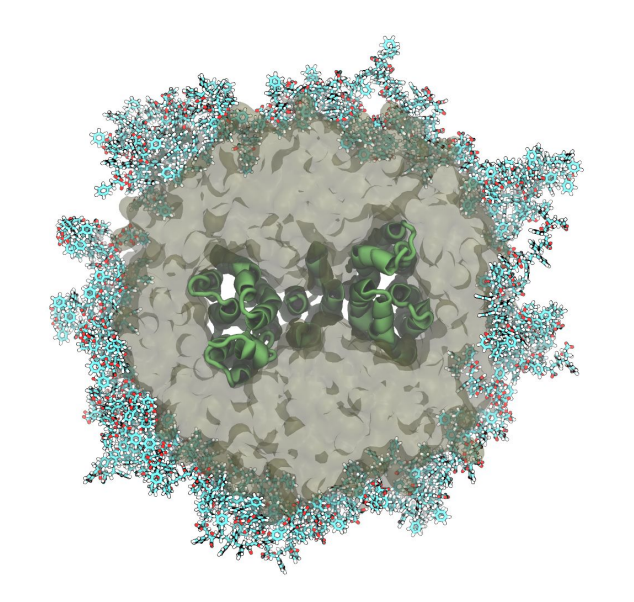
-2.0

Подведение полимеров к мембране

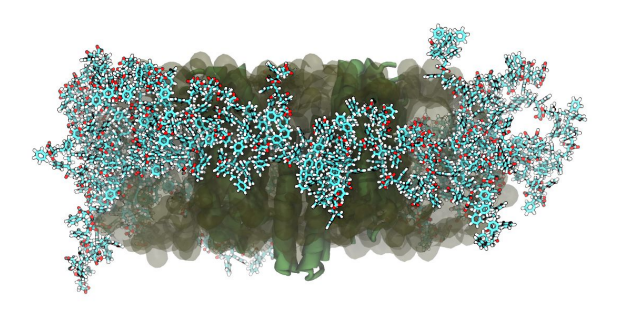


Параметры равновесной динамики

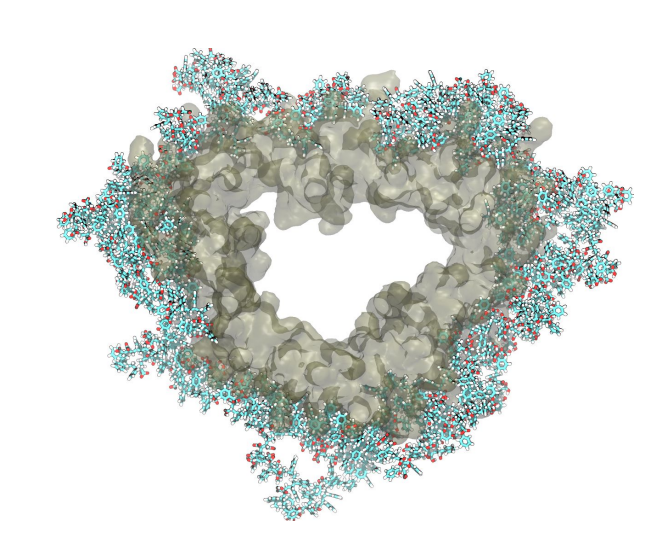
- Силовое поле OPLS-AA
- 2. Термостат velosity-rescale (300 K, tau = 10 пс)
- 3. Баростат Паринелло-Рамана (1 бар, tau = 10 пс)
- 4. Gromacs 2018.2
- 5. 100 нс equilibration, 20 нс production run



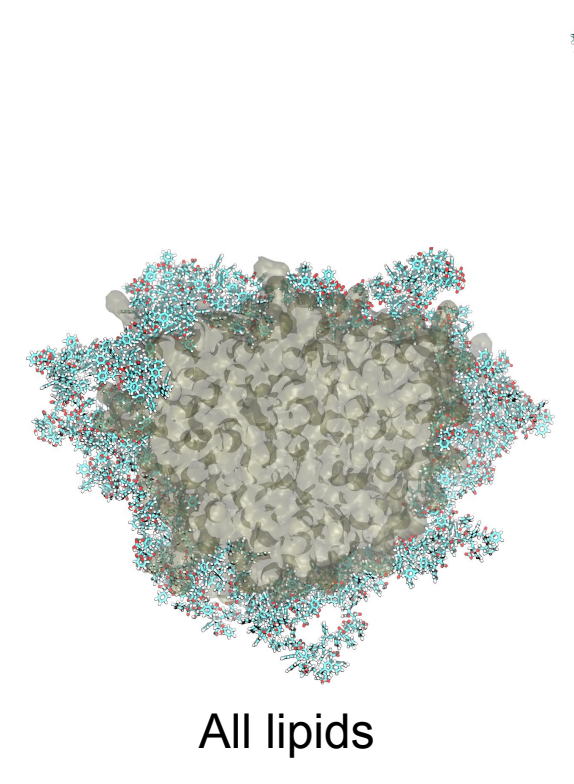
SMALP с сенсорным родопсином 1H2S



Сеты липидов



Outer lipids

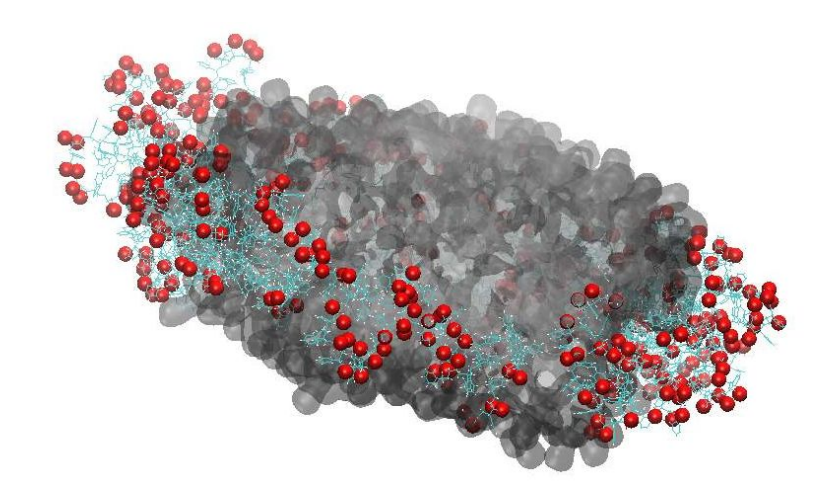


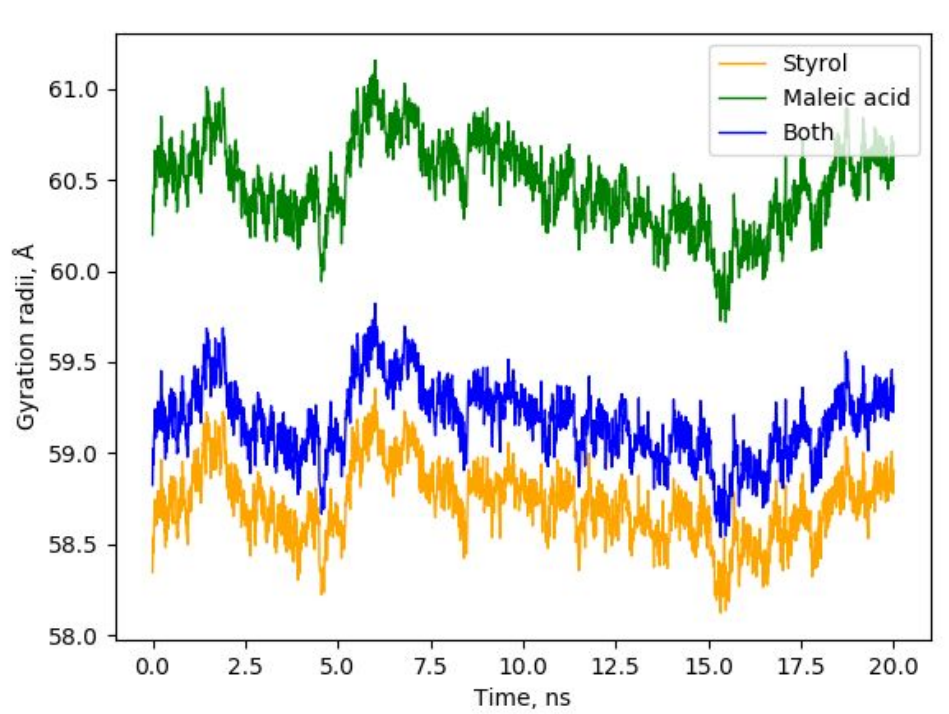
Inner lipids

Радиусы гирации

$$R_g \,=\, \left(rac{\sum_i \|\mathbf{r}_i\|^2 m_i}{\sum_i m_i}
ight)^{rac{1}{2}}$$

где \mathbf{r}_i - координаты точек относительно их центра масс.

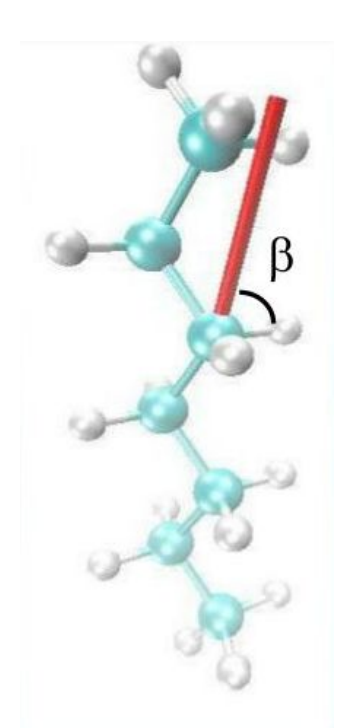


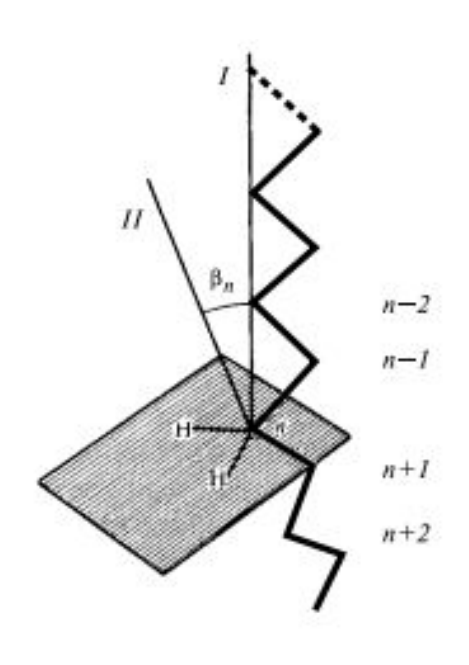


Анализ. Подсчет параметров порядка для молекул липидов

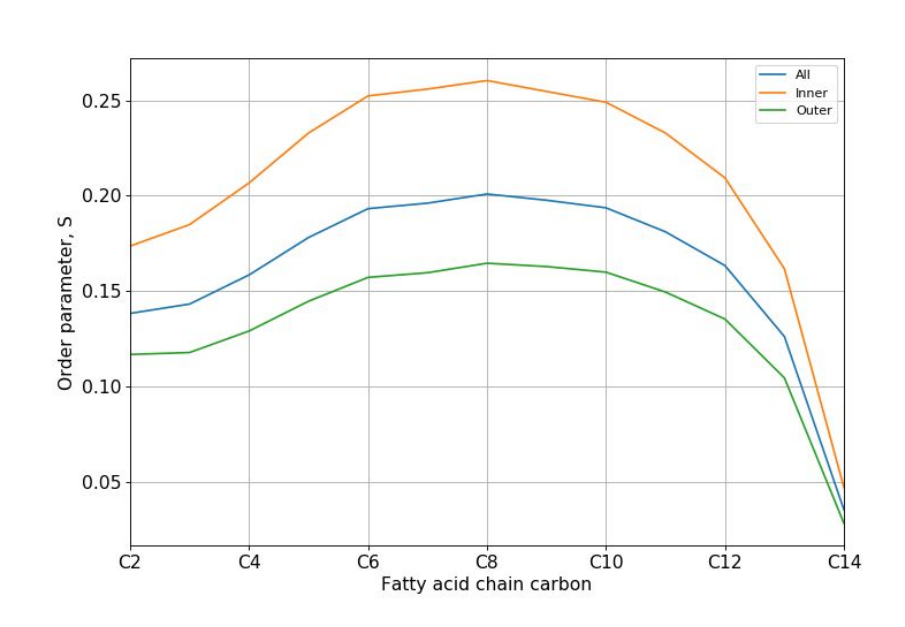
BEPHO!

HEBEPHO!





$$S = \frac{3\cos^2(\theta) - 1}{2}$$



Корреляционные времена вращения

Корреляционные времена вращения липидов были получены с помощью аппроксимации автокорреляционной функции (ACF) вектора \boldsymbol{A} , являющегося продуктом векторного произведения $C_{11}C_{12} \times C_{12}C_{13}$ миристиновых кислот липидов:

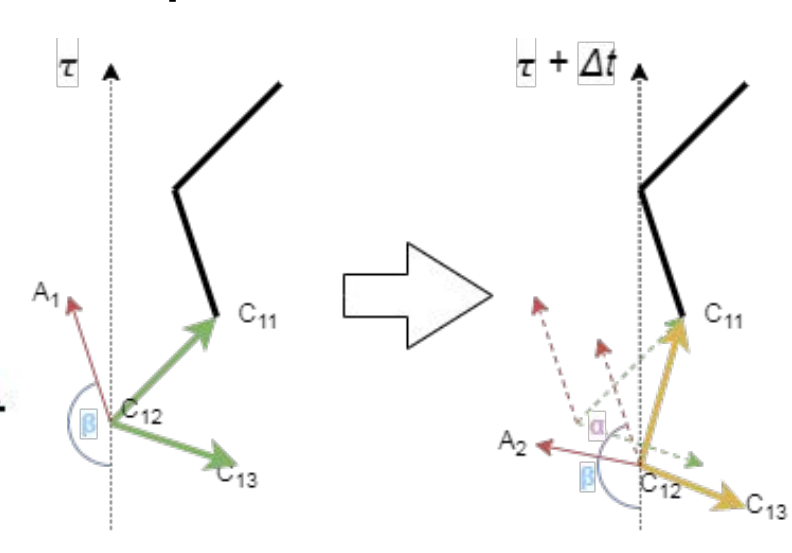
$$ACF = \int_{0}^{\infty} P_{2}(\cos \angle (A(\xi), A(\xi+t))) d\xi, \ P_{2}(x) = \frac{3x^{2}-1}{2}$$

Полученные автокорреляционные функции были аппроксимированы функцией суммы двух экспонент следующего вида:

$$ACF = (1 - S^{2})(\omega_{1}e^{-\frac{1}{\tau_{1}}} + \omega_{2}e^{-\frac{1}{\tau_{2}}}) + S^{2}$$

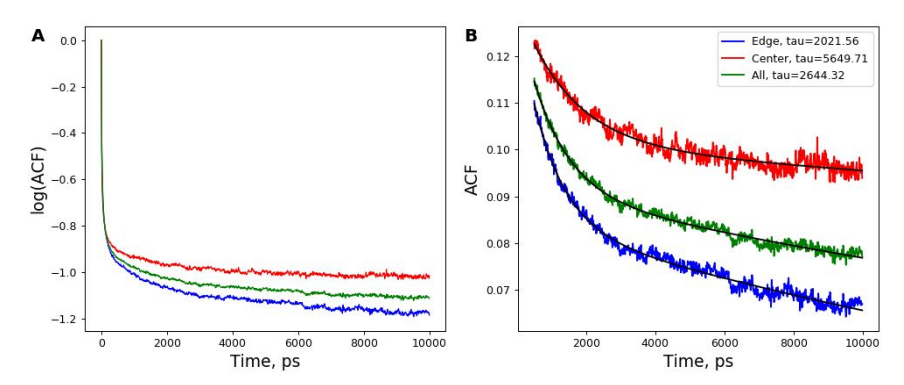
Таким образом корреляционное время вращения будет выражено в виде суммы:

$$\tau_{eff} = \omega_1 \tau_1 + \omega_2 \tau_2$$



$$A = C_{12}C_{13} \times C_{12}C_{11}$$

Корреляционные времена вращения



 Edge, tau=2247.54 0.14 -0.20.13 log(ACF) 0.12 ACF 0.11 -0.8 0.09 -1.08000 10000 2000 10000 Time, ps Time, ps

Липодиск с сенсорным родопсином 1H2S

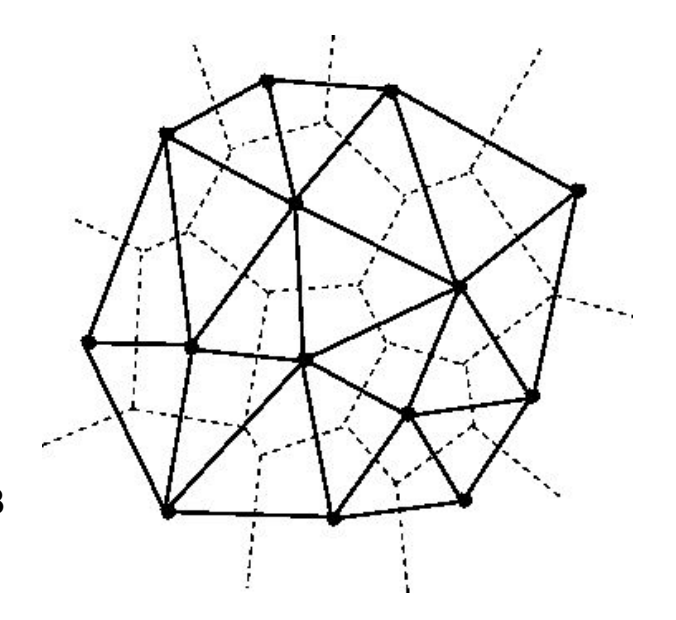
"Пустой" липодиск

	"Пустой" липодиск	Липодиск с белком 1H2S
T _{BCe}	2.64 нс	2.38 нс
Тцентральные	5.65 нс	2.93 нс
Тпериферийные	2.02 нс	2.25 нс

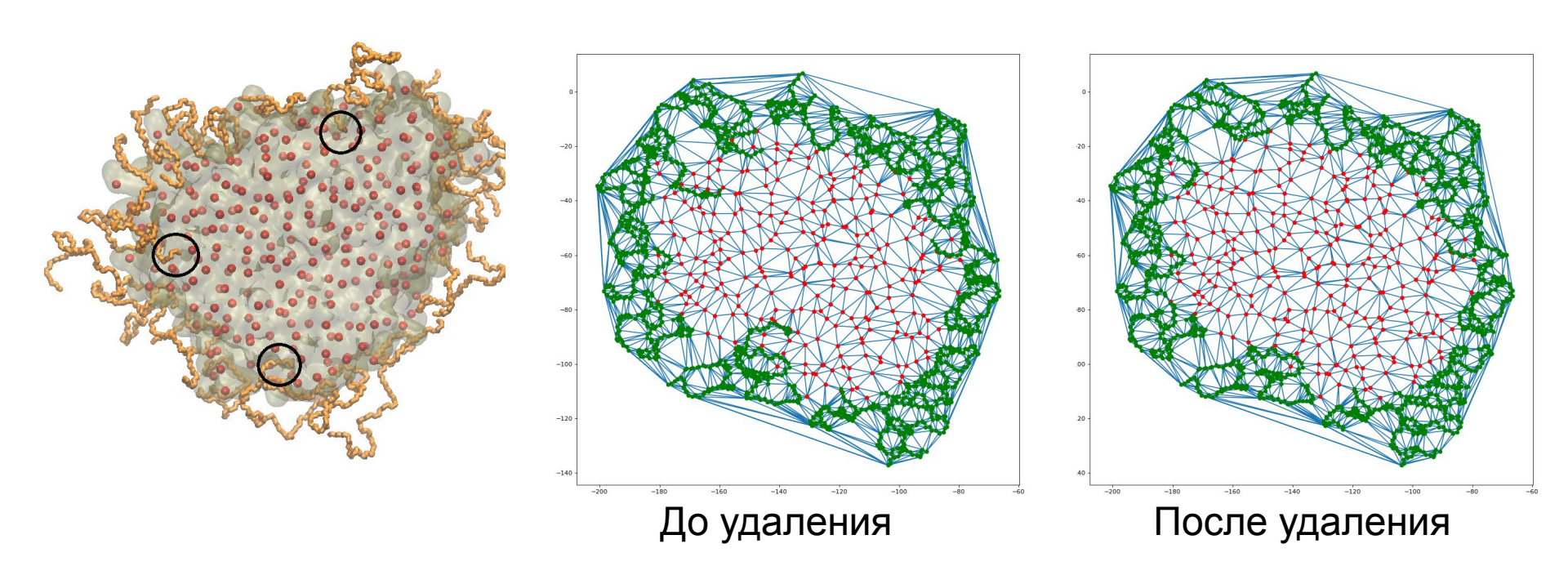
Экспериментальные значения ~ 2.6±0.4нс

Подсчет площади мембраны, приходящейся на 1 липид

- 1. Построение плоскости методом наименьших квадратов по атомам фосфора липидов
- 2. Нахождение проекций атомов фосфора на эту плоскость
- 3. Построение триангуляции Делоне по координатам проекций
- 4. Удаление нависающих над липодиском атомов полимеров
- 5. Вычисление площади



Удаление нависающих полимеров



3 типа треугольников: образованные атомами липидов, атомами молекул полимеров и атомами тех и других.

Первые вносят полный вклад своей площади в общую площадь, вторые не вносят, третьи вносят половину своей площади.

Подсчет площади мембраны, приходящейся на 1 липид

